

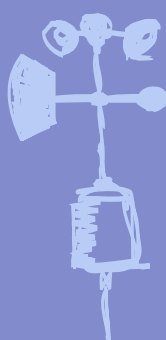
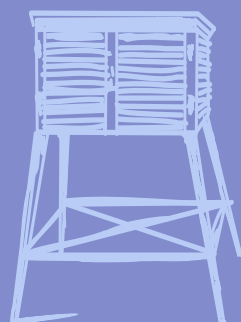
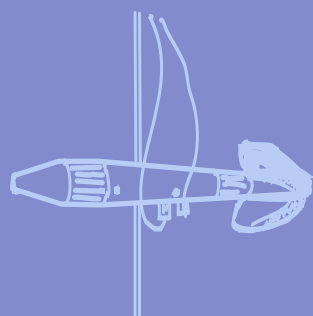
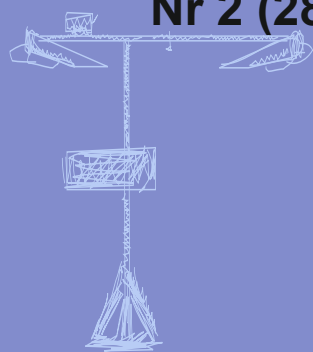
Nr 2 (282)

ISSN 1730-6124

BIULETYN

PAŃSTWOWEJ SŁUŻBY
HYDROLOGICZNO-
METEOROLOGICZNEJ

LUTY 2025



INSTYTUT METEOROLOGII I GOSPODARKI WODNEJ
PAŃSTWOWY INSTYTUT BADAWCZY

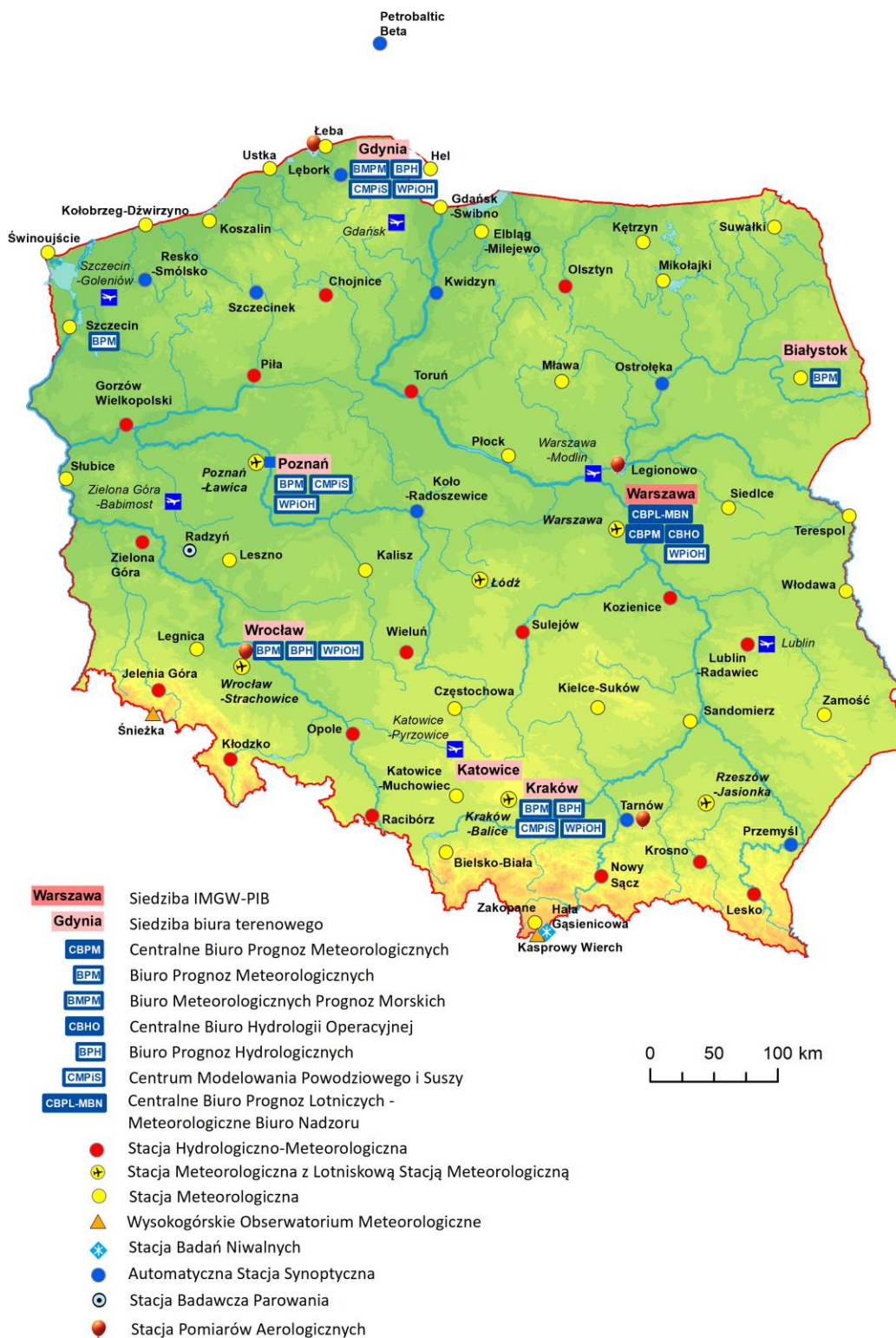


Redakcja biuletynu:

Wojciech Pawelec
Agnieszka Pietrzykowska
Sławomir Wereski – redaktor naczelny

Pomiary i obserwacje, których wyniki zamieszczono w Biuletynie wykonywane są przez Państwową Służbę Hydrologiczno-Meteorologiczną IMGW-PIB.

Dane w Biuletynie (meteorologiczne i hydrologiczne) pochodzą z operacyjnej bazy danych i ich wartości mogą ulec zmianie po weryfikacji.



SPIS TREŚCI

1.	Ogólna ocena sytuacji hydrologiczno-meteorologicznej w lutym 2025	4
2.	Warunki meteorologiczne	5
3.	Warunki hydrologiczne	16
4.	Odptyw rzeczny	24
5.	Jeziora.....	26

TABELE

2.1.	Charakterystyki meteorologiczne w lutym 2025	13
3.1.	Najwyższe dobowe sumy opadu w województwach (20 mm i wyższe)	16
3.1a.	Najwyższe dobowe sumy opadu w województwach (5,0 mm i wyższe)	16
3.2.	Najwyższe dobowe przyrosty stanu wody (50 cm i wyższe).....	17
3.3.	Stacje hydrologiczne, na których stan wody w lutym 2025 był niższy od dotychczas obserwowanych wartości (do roku 2023).....	19
4.1.	Odptyw w lutym 2025 w stosunku do wartości charakterystycznych z wielolecia 1951-2020, w wybranych profilach wodowskazowych	24
5.1.	Morfometria i zlewnie jezior	26
5.2.	Stan i temperatura wody jezior w lutym 2025	27
5.3.	Grubość pokrywy lodowej na jeziorach w lutym 2025 [cm].....	28

RYSUNKI

2.1.	Mapa synoptyczna (4 II 2025, godz. 12 UTC)	5
2.2.	Mapa synoptyczna (13 II 2025, godz. 12 UTC)	6
2.3.	Mapa synoptyczna (18 II 2025, godz. 12 UTC)	7
2.4.	Mapa synoptyczna (23 II 2025, godz. 12 UTC)	8
2.5.	Średnia miesięczna temperatura powietrza w lutym 2025	11
2.6.	Odchylenie średniej miesięcznej temperatury powietrza w lutym 2025, w stosunku do średniej 1991-2020	11
2.7.	Miesięczna suma opadu atmosferycznego w lutym 2025	12
2.8.	Anomalia miesięcznej sumy opadu atmosferycznego w lutym 2025, jako procent normy wieloletniej 1991-2020	12
2.9.	Średnie dobowe i ekstremalne temperatury powietrza oraz dobowe sumy opadu atmosferycznego w lutym 2025	14
3.1.	Wysokość opadów średnich [mm] i przebieg stanu wody [cm] dla wybranych zlewni w Polsce w lutym 2025	20
3.2.	Hydrogramy stanu wody na Wiśle, Narwi i Bugu w lutym 2025.....	21
3.3.	Hydrogramy stanu wody na Odrze, Nysie Kłodzkiej i Warcie w lutym 2025	22
4.1.	Krzywe sumowe odptywu Wisły w Tczewie i Odry w Gozdowicach	23
5.1.	Lokalizacja jezior bazowych i bilansowych sieci limnologicznej	26

1. Ogólna ocena sytuacji hydrologiczno-meteorologicznej w lutym 2025*

W lutym 2025 średnia obszarowa temperatura powietrza w Polsce wynosiła $-0,5^{\circ}\text{C}$ i była tylko o $0,4^{\circ}\text{C}$ niższa od wieloletniej normy (dla tego miesiąca). Według kwantylowej klasyfikacji warunków termicznych, biorąc pod uwagę średnią temperaturę dla Polski, miesiąc ten należy uznać za „normalny termicznie”. Najwyższe dodatnie odchylenie od termicznej normy, o $0,4^{\circ}\text{C}$, zanotowano na Wybrzeżu: w Łebie i Ustce (przy średniej miesięcznej temperaturze równej odpowiednio $1,0^{\circ}\text{C}$ i $1,5^{\circ}\text{C}$). Z kolei największe ujemne odchylenie, o $-0,9^{\circ}\text{C}$, wystąpiło we Włodawie (gdzie średnia miesięczna temperatura wyniosła $-2,3^{\circ}\text{C}$). Najwyższa średnia miesięczna temperatura: $1,5^{\circ}\text{C}$ wystąpiła w Kołobrzegu i Ustce, najniższa: $-2,8^{\circ}\text{C}$ w Suwałkach, a w górach: $-7,9^{\circ}\text{C}$ na Kasprowym Wierchu. Najwyższą dobową temperaturę: $15,0^{\circ}\text{C}$ zanotowano 24 II w Słubicach, najniższą: $-17,7^{\circ}\text{C}$ odnotowano 18 II w Jeleniej Górze, a w górach: $-18,7^{\circ}\text{C}$ w dniu 17 II na Kasprowym Wierchu. Pod względem opadów tegoroczny luty na większości stacji był skrajnie suchy (z sumą opadów poniżej 50% normy) lub bardzo suchy (z sumą opadów w przedziale 50-74% normy). Miejscami w rejonie Piły i Gorzowa Wielkopolskiego, gdzie miesięczna suma opadów wyniosła odpowiednio 84,1% i 76,9% normy, opady mieściły się w kategorii "miesiąc suchy", a tylko w rejonie Szczecina notowano opady w normie (osiągnęły 103,4% normy). Najwyższa miesięczna suma opadów: 33,9 mm wystąpiła w Szczecinie, a w górach: 39,4 mm na Kasprowym Wierchu. Z kolei najniższy miesięczny opad: 0,0 mm wystąpił w Opolu (opady dobowe nie osiągały tam nawet 0,1 mm). Najwyższą dobową sumę opadów w tym miesiącu: 14,5 mm zanotowano w Toruniu (28 II), a w górach: 19,1 mm na Hali Gąsienicowej (27 II).

Sytuacja hydrologiczna w lutym (podobnie jak we wszystkich poprzednich miesiącach półrocza zimowego) była stabilna. Na rzekach przeważnie obserwowano nieduże wahania stanu wody, z tendencją spadkową. Lokalnie notowano też na ogół niewysokie wzrosty. Główną przyczyną tej sytuacji były bardzo niskie opady (na przeważającym obszarze Polski luty został oceniony jako skrajnie suchy lub bardzo suchy, a miesięczne sumy opadu przeważnie mieściły się w przedziale 10-20 mm, a na znacznej części Polski nie sięgały 10 mm). Przez 21 dni lutego opady nie przekraczały 5,0 mm, a przez pozostałe 7 wyższe opady (od 5 mm) wystąpiły jedynie lokalnie (w drugiej i trzeciej dekadzie miesiąca). W lutym na stacjach hydrologicznych nie odnotowano przekroczeń stanu alarmowego, stan ostrzegawczy był przekroczony tylko w dorzeczu Odry - na pięciu stacjach.

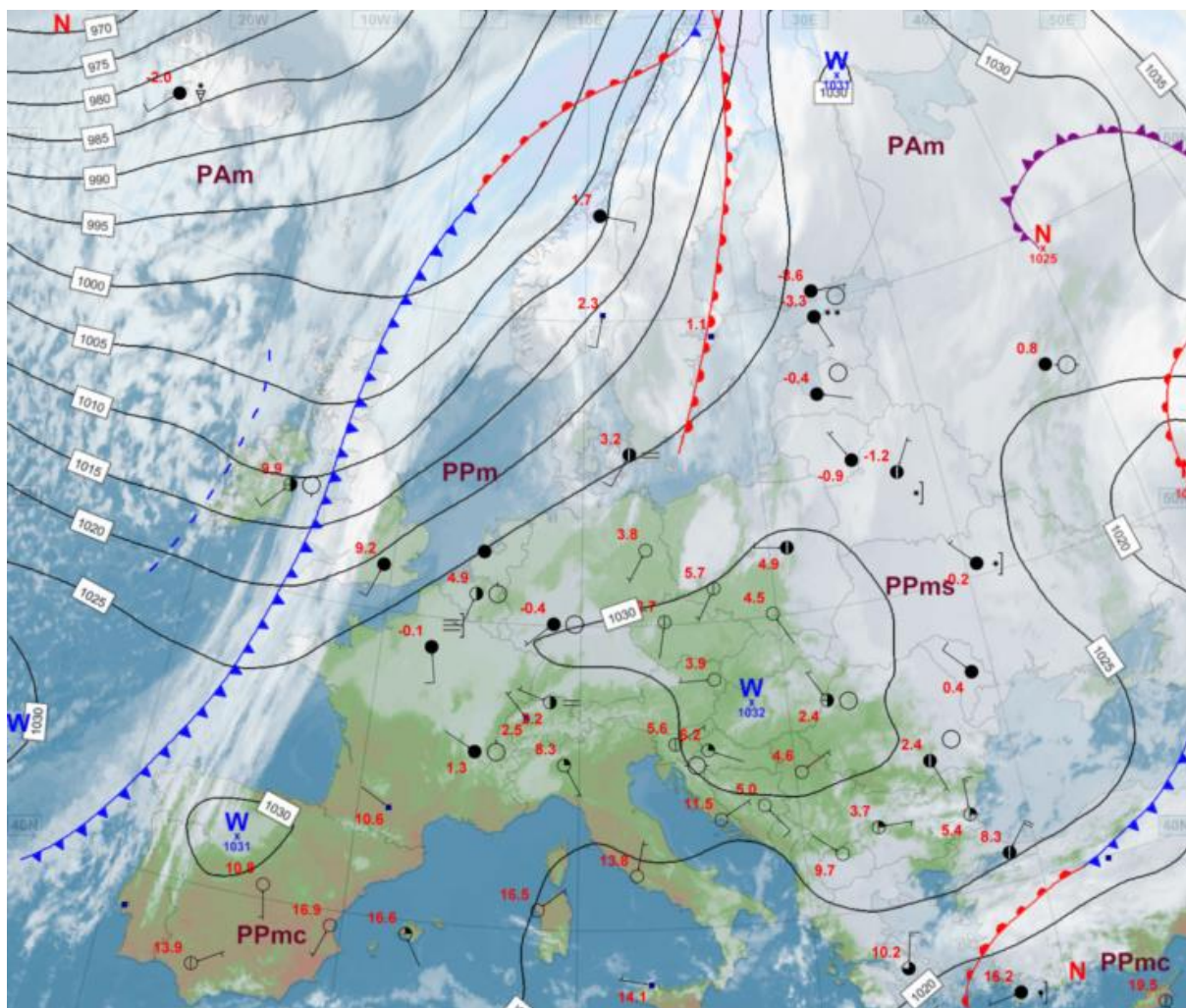
W lutym wartości odpływu rzek dorzecza Wisły i Odry były wyraźnie niższe od normy, a w rzekach Przymorza (Rega i Słupia) były niższe od normy.

Średni stan wody kontrolowanych jezior wzrósł w lutym nieznacznie, o 0,6 cm. W sześciu jeziorach stan wody wzrósł, w czterech obniżył się, a w dwóch pozostał bez zmiany. W strefie stanu wody wysokiej notowano sześć jezior, a w strefach stanu wody średniej i niskiej - po trzy jeziora. W stosunku do wartości średniej wieloletniej – w siedmiu jeziorach zanotowano niedobór wody, a w pięciu nadmiar. W porównaniu do stycznia spadek wartości temperatur średnich zanotowano w dziewięciu jeziorach, a wzrost – w dwóch. Średnia miesięczna temperatura wody w jeziorach obniżyła się o $0,6^{\circ}\text{C}$ i wyniosła $2,2^{\circ}\text{C}$. Najwyższa średnia miesięczna temperatura wystąpiła w Sławianowskim ($3,4^{\circ}\text{C}$), a najniższa w Dejgunach ($1,2^{\circ}\text{C}$). Trwała pokrywa lodowa występowała przeważnie w drugiej połowie miesiąca, a maksymalna jej grubość wyniosła 12 cm (Rajgrodzkie i Dadaj).

* Podane wartości pochodzą ze stacji synoptycznych. Wszystkie odniesienia dotyczą normy wieloletniej z lat 1991-2020.

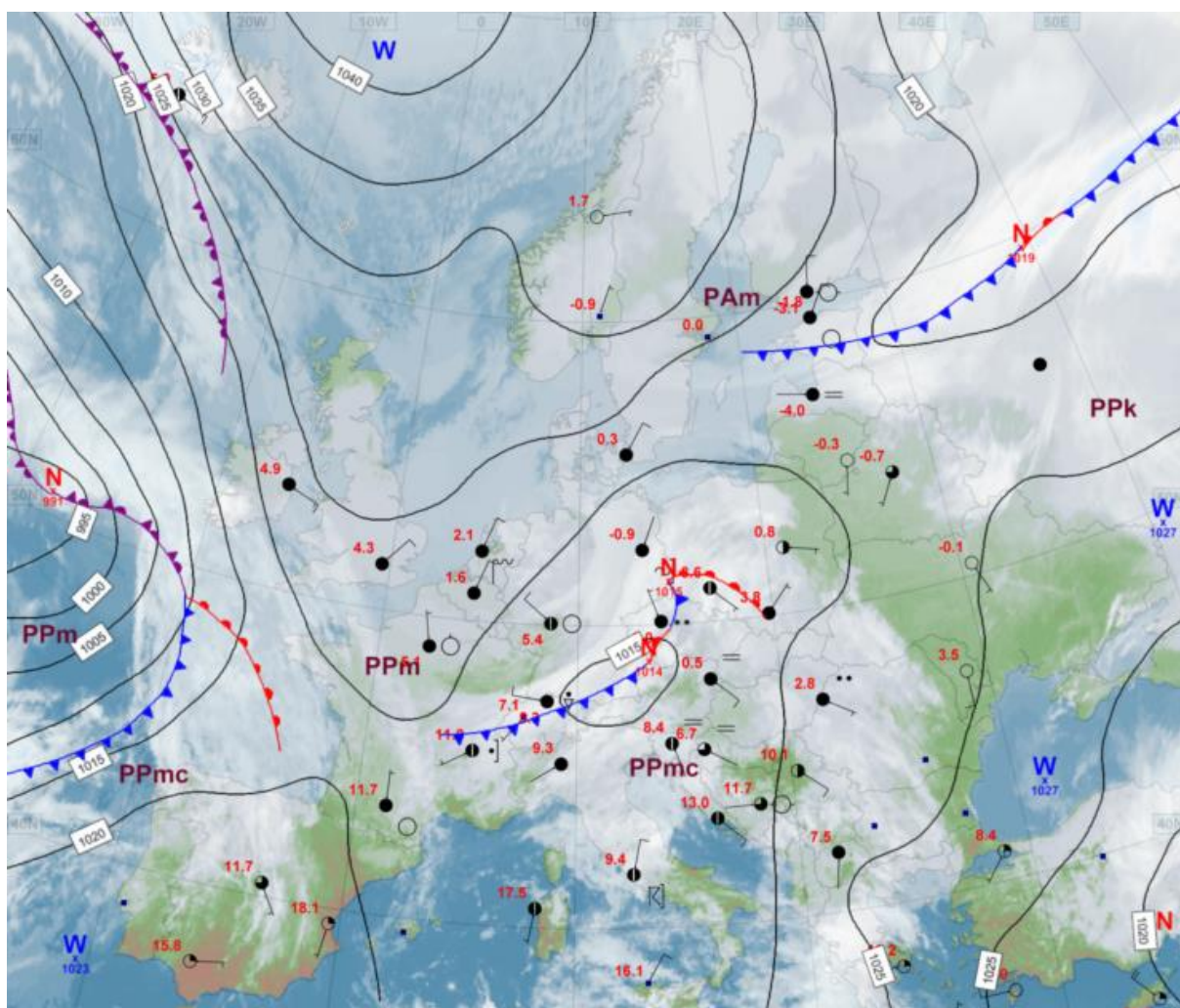
2. Warunki meteorologiczne

W okresie od 1 do 11 II Polska była przeważnie pod wpływem wyżów atmosferycznych, jedynie 6 II przejściowo zaznaczyła się zatoka niżowa z mało aktywnym frontem atmosferycznym. Na początku okresu, do 6 II, przeważał napływ powietrza polarno-morskiego i temperatury powietrza przekraczały normy wieloletnie, a po 6 II napływało chłodne powietrze o cechach kontynentalnych, chłodniejsze od średnich wartości z wielolecia. Było sucho, dominowało zachmurzenie niskie, choć obok dni pogodnych występowały też pochmurne. Opady deszczu, mżawki i śniegu, jeśli występowały, były słabe. W analizowanym okresie najsilniejsze porywy wiatru zanotowano 7 II na Śnieżce: 29 m/s.



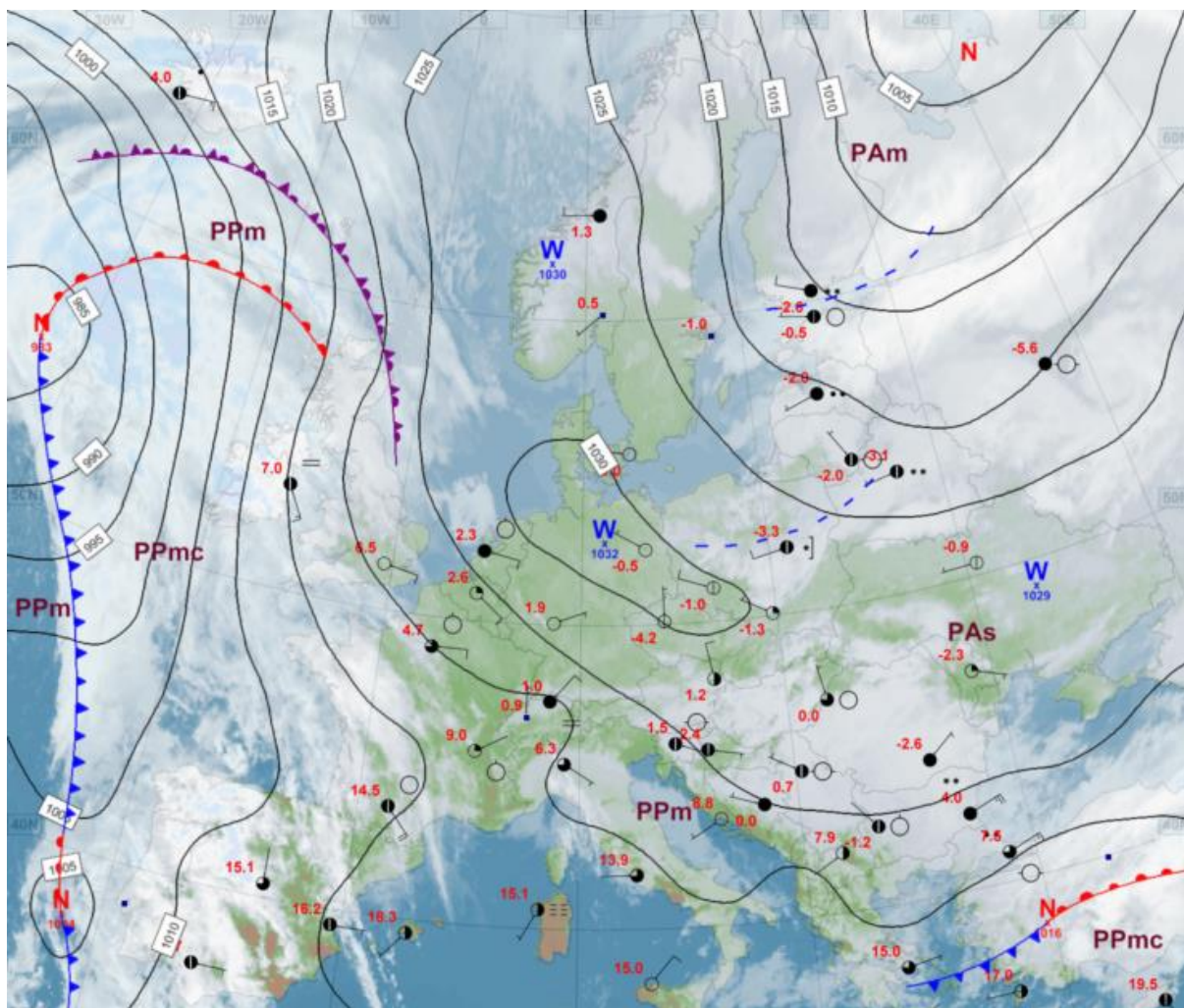
Rys. 2.1. Mapa synoptyczna (4 II 2025, godz. 12 UTC)

W okresie od 12 do 14 II przemieszczał się niż z układem frontów atmosferycznych. Polska nadal pozostawała w chłodnym powietrzu, ale przejściowo na południe kraju napływno cieplejsze powietrze polarne morskie. Przechodzeniu systemu frontów towarzyszył wzrost zachmurzenia do całkowitego oraz opady śniegu, deszczu ze śniegiem i marznącego deszczu powodującego gołoledź. Najwyższą sumę dobowych opadów 21,0 mm zanotowano 13 II w miejscowości Turew (woj. wielkopolskie). W analizowanym okresie najsilniejsze porywy wiatru wystąpiły 14 II na Śnieżce: 25 m/s oraz 12 II na Kasprowym Wierchu: 21 m/s.



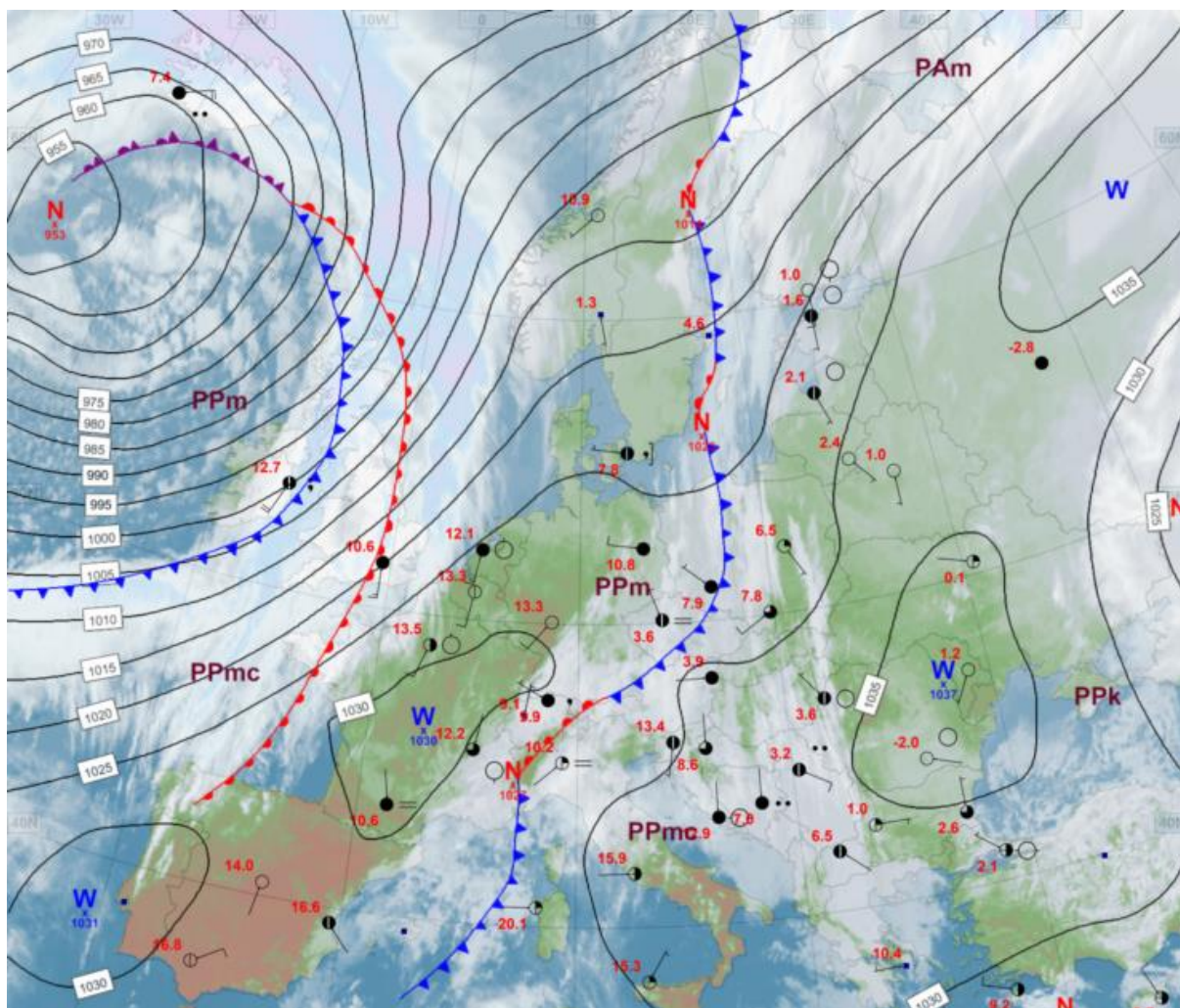
Rys. 2.2. Mapa synoptyczna (13 II 2025, godz. 12 UTC)

W okresie od 15 do 21 II nad Polską dominował wpływ rozległego wyżu, którego centrum przemieszczało się z nad Europy Północnej nad wschodnią część kontynentu. Jedynie na północy kraju zaznaczał się wpływ zatoki niżowej z północno-wschodniej Europy, gdzie występowały przelotne opady śniegu oraz tzw. „efekt morza”. Napływało mroźne powietrze arktyczne, co sprawiło, że był to najchłodniejszy okres w całym miesiącu. Zachmurzenie było zmienne: okresami było pogodnie, a okresami dominowało duże zachmurzenie. Nie odnotowano wysokich opadów. W analizowanym okresie najsilniejsze porywy wiatru wystąpiły 21 II w Helu: 16 m/s oraz 16 II w Ustce: 16 m/s, a w górach 15 II na Śnieżce – 17 m/s.



Rys. 2.3. Mapa synoptyczna (18 II 2025, godz. 12 UTC)

Od 22 II do końca miesiąca Polska znajdowała się w zasięgu zatok niżowych z frontami przemieszczającymi się z zachodu na wschód kraju. Ponownie zaczęło napływać ciepłe powietrze polarne morskie, co sprawiło, że w strefie frontów występowały głównie opady deszczu. Najwyższe dobowe sumy opadów deszczu zanotowano na stacjach meteorologicznych: Kołuda Wielka (woj. kujawsko-pomorskie; 28 II; 36,2 mm) i Rajcza (woj. śląskie; 27 II; 23,0 mm). Fronty przynosiły także wzrost zachmurzenia do dużego. Występowały mgły, miejscami gęste i utrzymujące się ponad osiem godzin, także w dzień. W analizowanym okresie najsilniejsze porywy wiatru wystąpiły na Śnieżce w dniu 26 II i sięgały 24 m/s.



Rys. 2.4. Mapa synoptyczna (23 II 2025, godz. 12 UTC)

Przez cały miesiąc pokrywa śnieżna utrzymywała się jedynie w szczytowych partiach Tatr, Sudetów oraz Beskidów.

Legenda do map synoptycznych:

Zjawiska meteorologiczne

	mgła, mgła marznąca		deszcz ciągły
	marznący deszcz, mżawka		mżawka
	grad		śnieg
	burza, błyskawica		opady przelotne deszczu lub śniegu
	zawieje lub zamieć		satelitarny obraz stref zachmurzenia

Zachmurzenie i prędkość wiatru

	niebo bezchmurne		cisza
	stopień zachmurzenia		wiatr zmienny
			1 m/s
			2,5 m/s
			5 m/s
			7,5 m/s
			10 m/s
			...
	zachmurzenie całkowite		22,5 m/s
	niebo niewidoczne		25 m/s
	stacja automatyczna		27 m/s

prędkość wiatru (length) / kierunek wiatru (arrow) / wielkość zachmurzenia (circle fill)

Masy powietrza

PP	powietrze polarne	
PA	powietrze arktyczne	
PZ	powietrze zwrotnikowe	
M	- morskie	
K	- kontynentalne	
C	- ciepłe	
S	- stare	

Układy ciśnienia

W	Wyż		izobara co 5 hPa
N	Niż		

Podsumowanie*

W lutym 2025 średnia obszarowa temperatura powietrza w Polsce wynosiła $-0,5^{\circ}\text{C}$ i była tylko o $0,4^{\circ}\text{C}$ niższa od wieloletniej normy (dla tego miesiąca). Według kwantylowej klasyfikacji warunków termicznych, biorąc pod uwagę średnią temperaturę dla Polski, miesiąc ten należy uznać za „normalny termicznie”. Najwyższe dodatnie odchylenie od termicznej normy, o $0,4^{\circ}\text{C}$, zanotowano na Wybrzeżu: w Łebie i Ustce (przy średniej miesięcznej temperaturze równej odpowiednio $1,0^{\circ}\text{C}$ i $1,5^{\circ}\text{C}$). Z kolei największe ujemne odchylenie, o $-0,9^{\circ}\text{C}$, wystąpiło we Włodawie (gdzie średnia miesięczna temperatura wyniosła $-2,3^{\circ}\text{C}$). Najwyższa średnia miesięczna temperatura: $1,5^{\circ}\text{C}$ wystąpiła w Kołobrzegu i w Ustce, najniższa: $-2,8^{\circ}\text{C}$ w Suwałkach, a w górach: $-7,9^{\circ}\text{C}$ - na Kasprowym Wierchu. Najwyższą dobową temperaturę: $15,0^{\circ}\text{C}$ zanotowano 24 II w Słubicach, najniższą: $-17,7^{\circ}\text{C}$ odnotowano 18 II w Jeleniej Górze, a w górach: $-18,7^{\circ}\text{C}$ w dniu 17 II na Kasprowym Wierchu.

W Warszawie średnia miesięczna temperatura wyniosła: $-0,6^{\circ}\text{C}$ i była o $0,2^{\circ}\text{C}$ niższa od normy. Najwyższą temperaturę maksymalną: $10,1^{\circ}\text{C}$ zanotowano 26 II, a najniższą minimalną: $-14,3^{\circ}\text{C}$, w dniu 17 II. W latach 1951-2025 najniższą minimalną temperaturę (w Warszawie): $-27,6^{\circ}\text{C}$ zanotowano 1 II 1970, a najwyższą maksymalną: $18,3^{\circ}\text{C}$ w dniu 25 II 2021.

Pod względem opadów tegoroczny luty na większości stacji był skrajnie suchy (z sumą opadów poniżej 50% normy) lub bardzo suchy (z sumą opadów w przedziale 50-74% normy). Miejscami w rejonie Piły i Gorzowa Wielkopolskiego, gdzie miesięczna suma opadów wyniosła odpowiednio 84,1% i 76,9% normy, opady mieściły się w kategorii: "miesiąc suchy", a tylko w rejonie Szczecina notowano opady w normie (osiągnęły 103,4% normy). Najwyższa miesięczna suma opadów: 33,9 mm wystąpiła w Szczecinie, a w górach: 39,4 mm na Kasprowym Wierchu. Z kolei najniższy miesięczny opad: 0,0 mm wystąpił w Opolu (opady dobowe nie osiągały tam nawet 0,1 mm). Najwyższą dobową sumę opadów w tym miesiącu: 14,5 mm zanotowano w Toruniu (28 II), a w górach: 19,1 mm na Hali Gąsienicowej (27 II).

W Warszawie miesięczna suma opadów wyniosła 5,7 mm, co stanowi 19,1% normy. Najwyższą dobową sumę opadów: 2,5 mm, zanotowano 27 II. W latach 1951-2025 najwyższą dobową sumę opadów (w Warszawie): 21,4 mm zanotowano 25 II 1977.

* Podane wartości pochodzą ze stacji synoptycznych. Wszystkie odniesienia dotyczą normy wieloletniej z lat 1991-2020.

Wartości ekstremalne dla lutego w wieloleciu

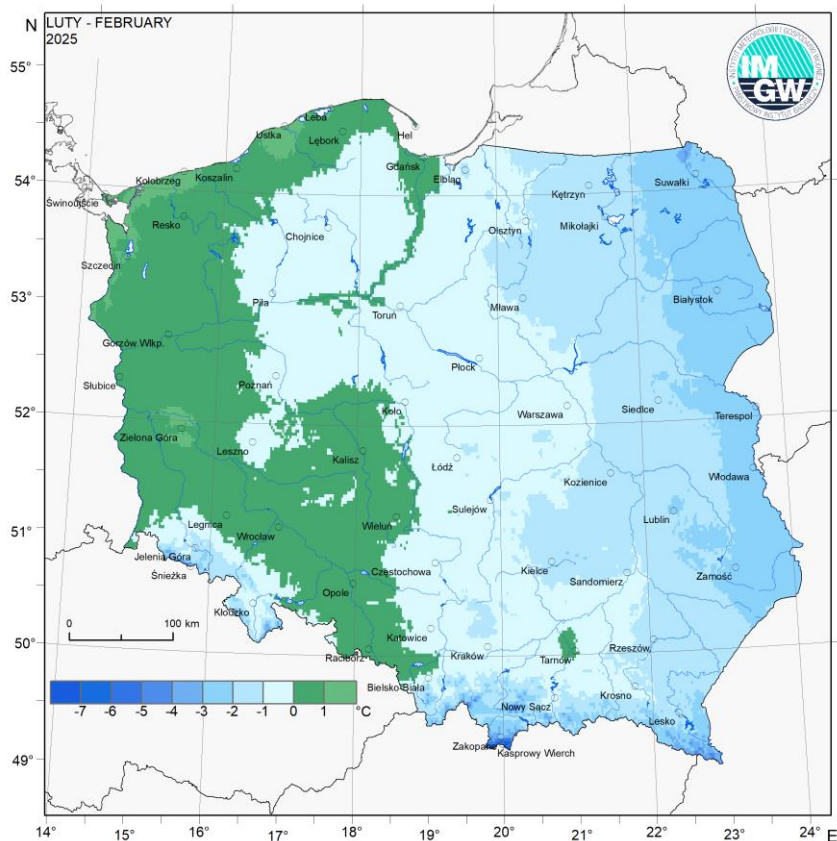
1951-2025

Najniższa temperatura	$-36,9^{\circ}\text{C}$	w Jeleniej Górze	10 II 1956,
Najwyższa temperatura	$21,2^{\circ}\text{C}$	w Jeleniej Górze	24 II 2021,
Najwyższa suma opadów	50,2 mm	w Koszalinie	29 II 1956,
	76,4 mm	na Kasprowym Wierchu	27 II 1973.

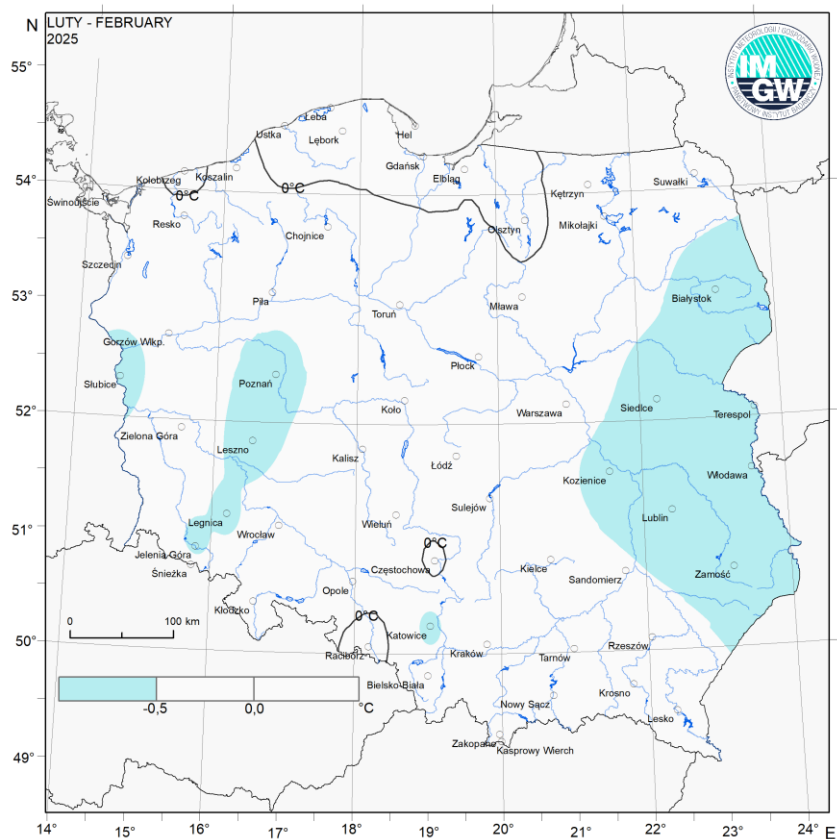
Wartości ekstremalne dla lutego w dziesięcioleciu

2016-2025

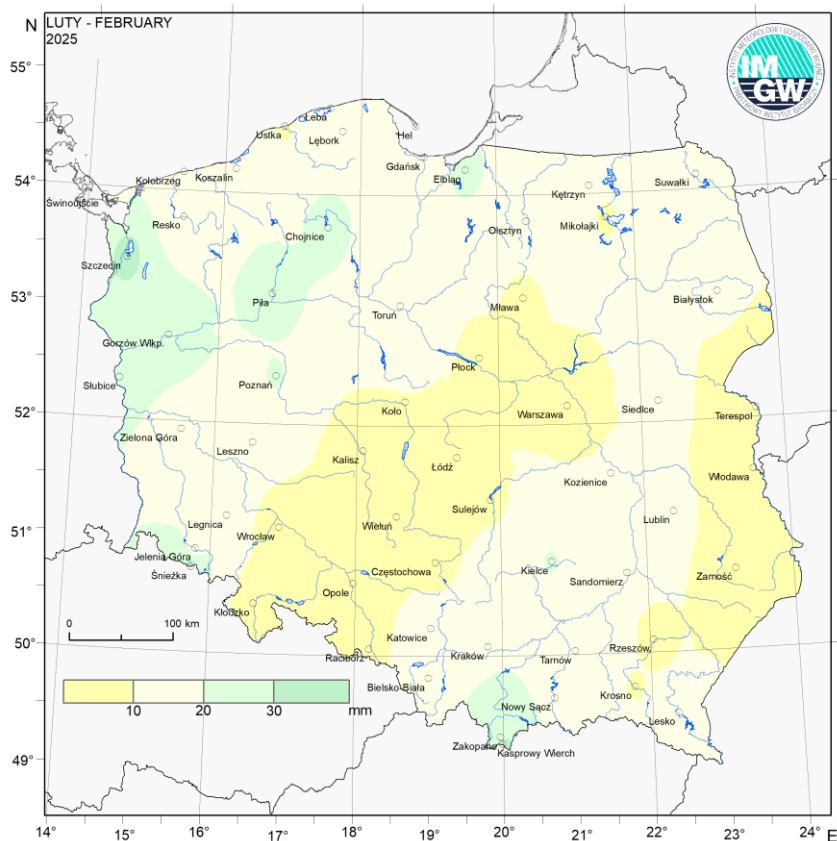
Najniższa temperatura	$-23,5^{\circ}\text{C}$	w Suwałkach	7 II 2021,
	$-25,2^{\circ}\text{C}$	na Kasprowym Wierchu	12 II 2021,
Najwyższa temperatura	$21,2^{\circ}\text{C}$	w Jeleniej Górze	24 II 2021,
Najwyższa suma opadów	32,6 mm	w Lęborku	6 II 2024,
	44,0 mm	na Kasprowym Wierchu	4 II 2020.



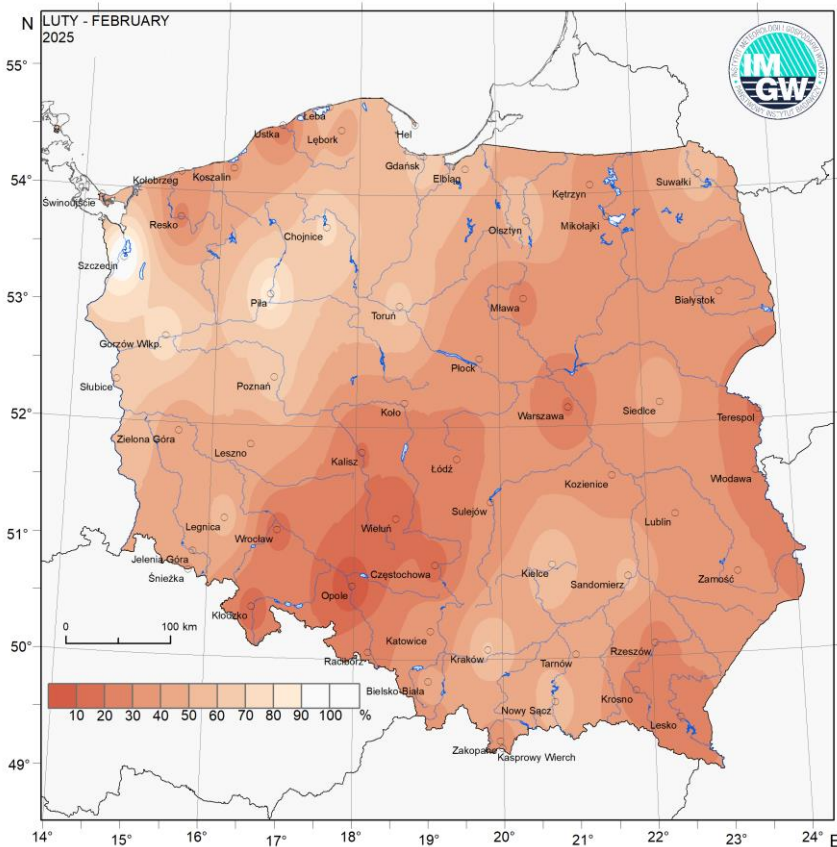
Rys. 2.5. Średnia miesięczna temperatura powietrza w lutym 2025



Rys. 2.6. Odchylenie średniej miesięcznej temperatury powietrza w lutym 2025, w stosunku do średniej 1991-2020



Rys. 2.7. Miesięczna suma opadu atmosferycznego w lutym 2025



Rys. 2.8. Anomalia miesięcznej sumy opadu atmosferycznego w lutym 2025, jako procent normy wieloletniej 1991-2020

Tab. 2.1. Charakterystyki meteorologiczne w lutym 2025

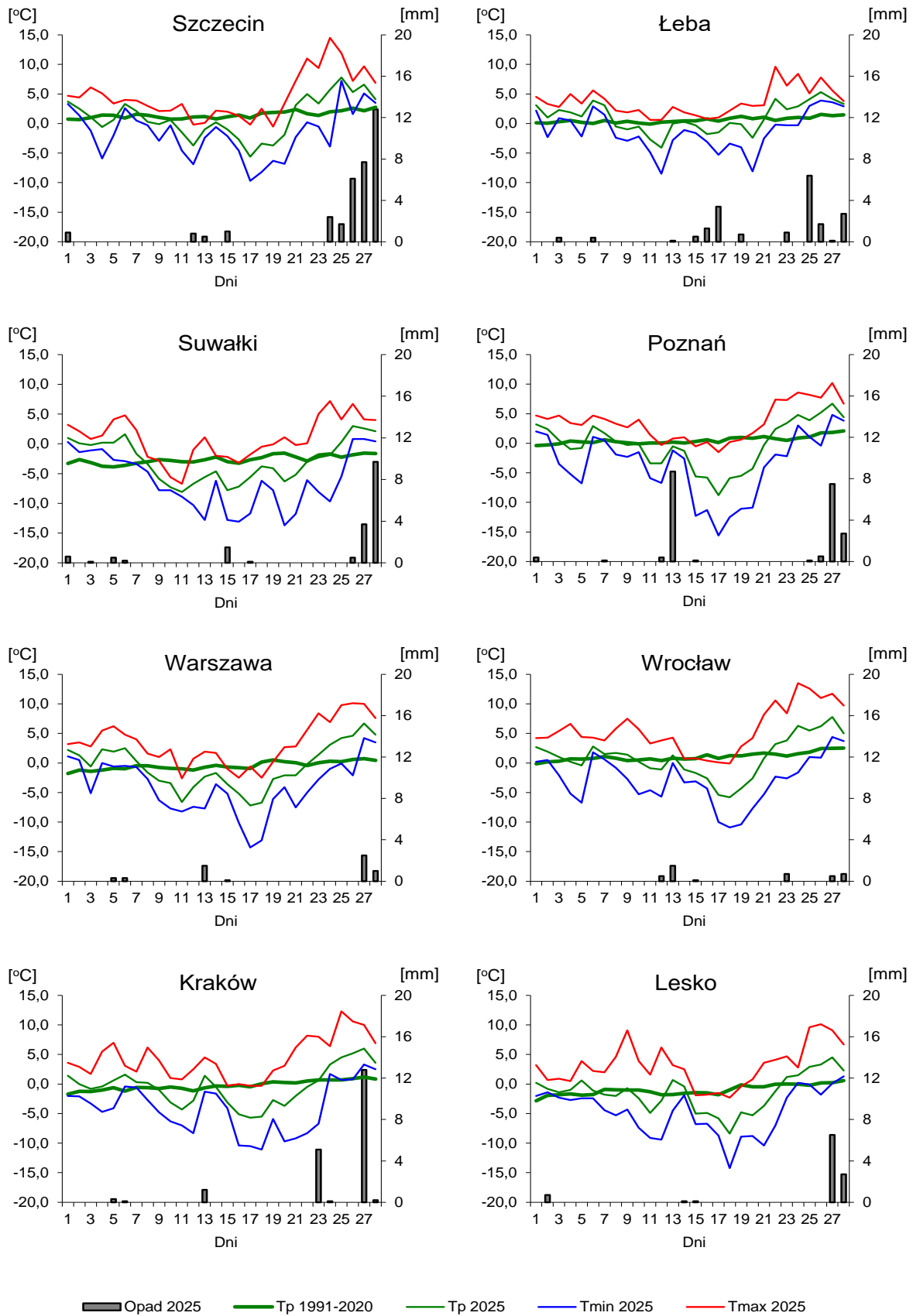
Lp.	Stacja	Temperatura powietrza						Temperatura gruntu na głęb. 5 cm		Opady atmosferyczne			Pokrywa śnieżna		Uśonecznienie
		T średnia [°C]	Odchylenie $T_{sr.}$ od normy* [°C]	T_{max} [°C]	T_{min} [°C]	T_{min} przy gruncie [°C]	Liczba dni z T_{min} przy gruncie < 0°C	T średnia [°C]	T min [°C]	Suma [mm]	% normy*	Liczba dni z opadem	Liczba dni z pokrywą śnieżną	Max grubość pokrywy śnieżnej [cm]	Suma [godz.]
1	Białystok	-2,7	-0,8	10,8	-16,0	-20,5	27	-1,9	-9,3	10,8	34	9	11	3	95,5
2	Chojnice	-0,8	-0,2	6,6	-11,4	-13,2	24	0,6	-2,0	22,7	73	9	7	5	72,0
3	Jelenia Góra	-1,0	-0,8	13,9	-17,7	-24,1	25	0,8	-1,1	15,7	45	10	10	8	133,5
4	Katowice	-0,5	-0,6	10,4	-12,6	-13,6	26	0,4	-3,3	14,8	38	6	6	2	127,3
5	Kielce	-1,3	-0,2	10,4	-16,6	-17,3	26	-1,1	-7,1	20,5	60	7	7	1	119,1
6	Koszalin	0,7	-0,2	10,8	-10,7	-15,3	19	.	.	15,8	39	10	9	7	85,4
7	Kraków	-0,4	-0,2	12,3	-11,1	-14,0	26	.	.	19,8	61	7	-	-	.
8	Lublin	-2,1	-0,7	8,2	-15,3	-19,9	27	-0,9	-4,7	10,6	34	5	8	2	89,3
9	Łódź	-0,8	-0,5	9,7	-17,0	-20,7	23	1,4	-2,4	8,8	26	8	8	4	102,6
10	Mława	-1,2	0,0	8,0	-13,2	-15,1	25	0,2	-5,1	7,8	27	6	-	-	79,1
11	Olsztyn	-1,0	0,1	8,5	-11,4	-19,5	23	0,3	-5,5	18,9	57	9	10	9	bp
12	Opole	0,5	-0,2	12,8	-11,8	-12,3	24	1,1	-5,0	0,0	0	0	-	-	123,4
13	Poznań	-0,2	-0,7	10,2	-15,6	-22,8	22	1,2	-1,2	20,5	67	9	10	11	88,6
14	Rzeszów	-1,1	-0,5	11,7	-15,4	-16,5	25	.	.	8,4	26	7	-	-	bp
15	Suwałki	-2,8	-0,2	7,2	-13,7	-19,9	27	-0,6	-4,9	16,9	54	9	10	7	67,0
16	Szczecin	1,1	-0,4	14,5	-9,7	-11,9	21	0,9	-4,2	33,9	103	9	3	2	90,6
17	Terespol	-2,1	-0,7	11,1	-14,4	-16,2	26	-0,8	-5,0	4,9	18	4	4	2	113,6
18	Toruń	-0,3	-0,2	8,7	-13,9	-15,9	23	.	.	17,1	63	6	2	1	86,0
19	Warszawa	-0,6	-0,2	10,1	-14,3	-17,7	25	-0,9	-7,7	5,7	19	6	7	2	104,6
20	Wrocław	1,0	-0,1	13,5	-10,9	-12,3	27	0,0	-6,0	4,0	16	6	2	1	126,9
21	Zakopane	-2,9	-0,5	7,5	-14,9	-19,5	27	-0,8	-5,7	19,1	37	5	8	4	135,5
22	Zielona Góra	0,7	0,0	13,4	-8,3	-16,8	21	0,9	-2,7	15,6	44	9	9	13	118,9

Oznaczenie:

kreska (-) - zjawisko nie wystąpiło;

kropka (.) - brak danych;

* wartości odniesiono do norm z okresu 1991-2020;



Rys. 2.9. Średnie dobowe i ekstremalne temperatury powietrza oraz dobowe sumy opadu atmosferycznego w lutym 2025

Informacja o liczbie zarejestrowanych wyładowań atmosferycznych na obszarze Polski przez system wykrywania wyładowań PERUN

W lutym 2025 system wykrywania i lokalizacji wyładowań atmosferycznych PERUN zarejestrował na obszarze Polski 335 wyładowań, w tym:

- 320 wyładowań chmurowych,
- 3 wyładowania doziemne dodatnie,
- 12 wyładowań doziemnych ujemnych.

3. Warunki hydrologiczne

Ostatniego dnia stycznia (poprzedniego miesiąca) stan wody Wisły górnej układał się w strefie wody średniej, a stan Wisły środkowej i dolnej znajdował się na granicy wody średniej i niskiej, z przewagą stanu wody średniej. Stan Narwi był w strefie wody niskiej. Stan wody na Bugu na przeważającej długości odcinka granicznego układał się w strefie wody niskiej, a na pozostałej długości – na granicy wody średniej i niskiej. Odra na przeważającej długości znajdowała się w strefie wody średniej (lokalnie wysokiej). Stan Warty powyżej ujścia Neru układał się na granicy wody niskiej i średniej, a poniżej ujścia tej rzeki – w strefie wody średniej.

W rozdziale „Warunki meteorologiczne” tego Biuletynu tegoroczny luty pod względem opadów na większości obszaru Polski został oceniony jako skrajnie suchy (poniżej 50% normy opadowej) lub bardzo suchy (50-74% normy). Miejscami (w rejonie Piły i Gorzowa Wielkopolskiego) opady mieściły się w kategorii: "miesiąc suchy", a tylko w rejonie Szczecina notowano opady w normie opadowej (rys. 2.9).

W tab. 3.1 umieszczono najwyższe w województwach (20 mm i wyższe) dobowe sumy opadu, jakie odnotowano w poszczególnych dniach lutego.

Tab. 3.1. Najwyższe dobowe sumy opadu w województwach (20 mm i wyższe)

Data	Opad maks. [mm]	Lokalizacja	Województwo i % stacji z opadem powyżej 20 mm	Zlewnia
13 II	21	Turew	wielkopolskie, 1%	Warta (Racocki Rów)
27 II	23	Rajcza	śląskie, 6%	Soła
28 II	36	Kołuda Wielka	kujawsko-pomorskie, 7%	Noteć

W lutym opady równe lub wyższe od 20 mm na dobę (uznawane już za potencjalnie niebezpieczne, tab. 3.1) wystąpiły jedynie w trzech dniach miesiąca (13 II, 27 II i 28 II). Dodatkowo można dodać, że opady wyższe od 5,0 mm odnotowano tylko w 7 dniach lutego (tj. 13, 15, 17, 18, 23, 27 i 28 lutego). Aż do 13 lutego na obszarze Polski nie odnotowano opadów wyższych lub równych 5,0 mm.

Dla lepszego zobrazowania rozkładu opadów w poszczególnych dniach lutego w tab. 3.1a (dodatkowej) umieszczono najwyższe dobowe sumy opadu w województwach (5,0 mm i wyższe).

Tab. 3.1a. Najwyższe dobowe sumy opadu w województwach (5,0 mm i wyższe)

Data	Opad maks. [mm]	Lokalizacja	Województwo	Zlewnia
13 II	21,0	Turew	wielkopolskie	Warta (Racocki rów)
	17,6	Wyszków	dolnośląskie	Nysa łużycka
	14,8	Lubniewice	lubuskie	Lubniewka
	6,4	Boleszkowice	zachodniopomorskie	Dopływ z Boleszkowic
15 II	11,1	Kaszuny	warmińsko-mazurskie	Drwęca Warmińska
	9,8	Grzybnica	zachodniopomorskie	Parsęta
17 II	13,9	Rogity	warmińsko-mazurskie	Pastęka
	9,2	Smółdzino	pomorskie	Łupawa

Data	Opad maks. [mm]	Lokalizacja	Województwo	Zlewnia
18 II	6,4	Grzybnica	zachodniopomorskie	Radew
23 II	14,6	Polana Chochotowska	małopolskie	Dunajec
	11,4	Chorzeliów	podkarpackie	Wisła
	7,5	Straconka	śląskie	Biała
	5,9	Dobrowoda	świętokrzyskie	Nida
	23,0	Rajcza	śląskie	Soła
27 II	19,8	Leskowiec	małopolskie	Skawa
	16,5	Choszczno	zachodniopomorskie	Ina
	12,0	Kazanów	mazowieckie	Iżanka
	36,2	Kołuda Wielka	kujawsko-pomorskie	Noteć
28 II	19,8	Wyrzysk	wielkopolskie	Łobżonka
	16,1	Trąbki Wielkie	pomorskie	Martwa Wisła
	15,1	Widuchowa	zachodniopomorskie	Odra
	12,9	Głodowo	warmińsko-mazurskie	Pisa
	7,7	Łomnica	dolnośląskie	Bystrzyca
	6,7	Sieradz-Dziedzic	łódzkie	Warta

Rozkład sumy opadu w lutym 2025 i jej anomalii (jako procent normy wieloletniej 1991-2020) przedstawiono na rys. 2.8 i 2.9.

Najwyższe dobowe przyrosty stanu wody (50 cm i wyższe) zamieszczono poniżej w tab. 3.2.

Tab. 3.2. Najwyższe dobowe przyrosty stanu wody (50 cm i wyższe, o 6 UTC)

Data	Województwo	Rzeka	Stacja hydrologiczna	Przyrost stanu [cm]
1 II	warmińsko-mazurskie	Bauda	Nowe Sadłuki	126
	warmińsko-mazurskie	Wąska	Pasłęk	77
2 II	warmińsko-mazurskie	Pasłęka	Pierzchały	50
3 II	dolnośląskie	Bóbr	Pilchowice	57
6 II	wielkopolskie	Noteć	Białośliwie	107
	dolnośląskie	Bóbr	Pilchowice	59
11 II	opolskie	Odra	Ujście Nysy Kłodzkiej	92
	mazowieckie	Bug	Popowo	60
12 II	warmińsko-mazurskie	Pasłęka	Łozy	58
13 II	mazowieckie	Bug	Wyszków	84
	dolnośląskie	Odra	Malczyce	70
	dolnośląskie	Bóbr	Pilchowice	61
18 II	mazowieckie	Bug	Zabuże	75
	mazowieckie	Bug	Małkinia	71
20 II	warmińsko-mazurskie	Pasłęka	Łozy	71
21 II	warmińsko-mazurskie	Łyna	Sępól	56
24 II	dolnośląskie	Bóbr	Pilchowice	58
26 II	dolnośląskie	Bóbr	Pilchowice	63
28 II	małopolskie	Wisła	Grabie	76
	małopolskie	Skawinka	Radziszów	75
	małopolskie	Wisła	Jawiszowice	50
	warmińsko-mazurskie	Pasłęka	Braniewo	50

W lutym wśród czynników powodujących umiarkowane wzrosty stanu wody w rzekach (tab. 3.2) można wymienić: opady deszczu, pracę urządzeń hydrotechnicznych, oraz w ograniczonym stopniu topienie się pokrywy śnieżnej głównie na obszarach górskich, podgórskich, a także we wschodnich rejonach Polski oraz zjawiska lodowe na rzekach.

W lutym na części rzek na obszarze dorzecza Wisły, szczególnie w południowej i wschodniej Polsce, tworzyły się zjawiska lodowe: najczęściej był to śryż i lód brzegowy, miejscami pojawiało się większe zlodzenie lub nawet pokrywa lodowa, a także zator śryżowy. Pokrywą lodową odnotowano m.in. na Rabie w Rabce (5-11 oraz 16-26 II) oraz na Sole w Żywcu (17-24 II), a także okresowo na Stradomce w Stradomce, Czarnej Orawie w Jabłonce, Przysłopiance w Kunkowej, Wetlinie w Kalnicy, Pokrzywiance we Włochach, na Krznie w Malowej Górze oraz na Narwi w Surażu, w Wiznej i w Nowogrodzie.

W lutym notowano niewysokie opady śniegu oraz lokalnie pokrywę śnieżną o niedużej miąższości.

Pojawiająca się niewysoka pokrywa śnieżna oraz zjawiska lodowe na rzekach miały tylko niewielki wpływ na kształtowanie się sytuacji hydrologicznej.

W analizowanym miesiącu na rzekach w dorzeczu Wisły i Odry oraz na stacjach morskich nie odnotowano przekroczeń stanu alarmowego.

W dorzeczu Wisły przekroczeń stanu ostrzegawczego również nie zanotowano.

W dorzeczu Odry przekroczenia stanu ostrzegawczego odnotowano na rzekach: Boczne koryto Opawy-(Branice, 1-16, 25, 27-28 II), Bystrzyca-(Bystrzyca Kłodzka, 21 II), Widawa-(Zbytowa, 1-5 II; Krzyżanowice, 1-3 II), Swędrnia (Dębe, 1-7, 9, 11-12, 14-16, 24-28 II).

Sytuacja hydrologiczna w lutym (podobnie jak we wszystkich poprzednich miesiącach półrocza zimowego) była stabilna. Na rzekach przeważnie obserwowano nieduże wahania stanu wody, z tendencją spadkową. Lokalnie notowano też na ogół niewysokie wzrosty. Główną przyczyną tej sytuacji były bardzo niskie opady (na przeważającym obszarze Polski luty został oceniony jako skrajnie suchy lub bardzo suchy, a miesięczne sumy opadu przeważnie mieściły się w przedziale 10-20 mm, a na znacznej części Polski nie sięgały 10 mm). Przez 21 dni lutego opady nie przekraczały 5,0 mm, a przez pozostałe 7 wyższe opady (od 5 mm) wystąpiły jedynie lokalnie (w drugiej i trzeciej dekadzie miesiąca). W lutym na stacjach hydrologicznych nie odnotowano przekroczeń stanu alarmowego, stan ostrzegawczy był przekroczony tylko w dorzeczu Odry - na pięciu stacjach.

Ostatniego dnia lutego (28 II) stan wody Wisły niemal na całej długości układał się w strefie wody niskiej. Jedynie w górnym biegu Wisły na odcinku od źródeł do ujścia Raby notowano stan wody na granicy wody średniej i niskiej (strefę wody niskiej notowano odcinkowo poniżej źródeł Wisły oraz powyżej ujścia Raby). Stan wody średniej notowano także w odcinku ujściowym Wisły. Stan wody Narwi powyżej ujścia Pisy znajdował się na granicy wody niskiej i średniej, a poniżej ujścia tej rzeki – w strefie wody niskiej. Stan Bugu powyżej ujścia rzeki Nurzec znajdował się w strefie wody niskiej, a poniżej ujścia tej rzeki – na granicy wody niskiej i średniej (bezpośrednio poniżej ujścia rzeki Nurzec - w strefie wody niskiej). Stan wody górnej, środkowej na odcinku granicznym i dolnej Odry znajdował się w strefie wody średniej. Stan wody środkowej Odry poza odcinkiem granicznym znajdował się w strefie wody średniej, odcinkami na granicy wody średniej i niskiej. Warta na niemal

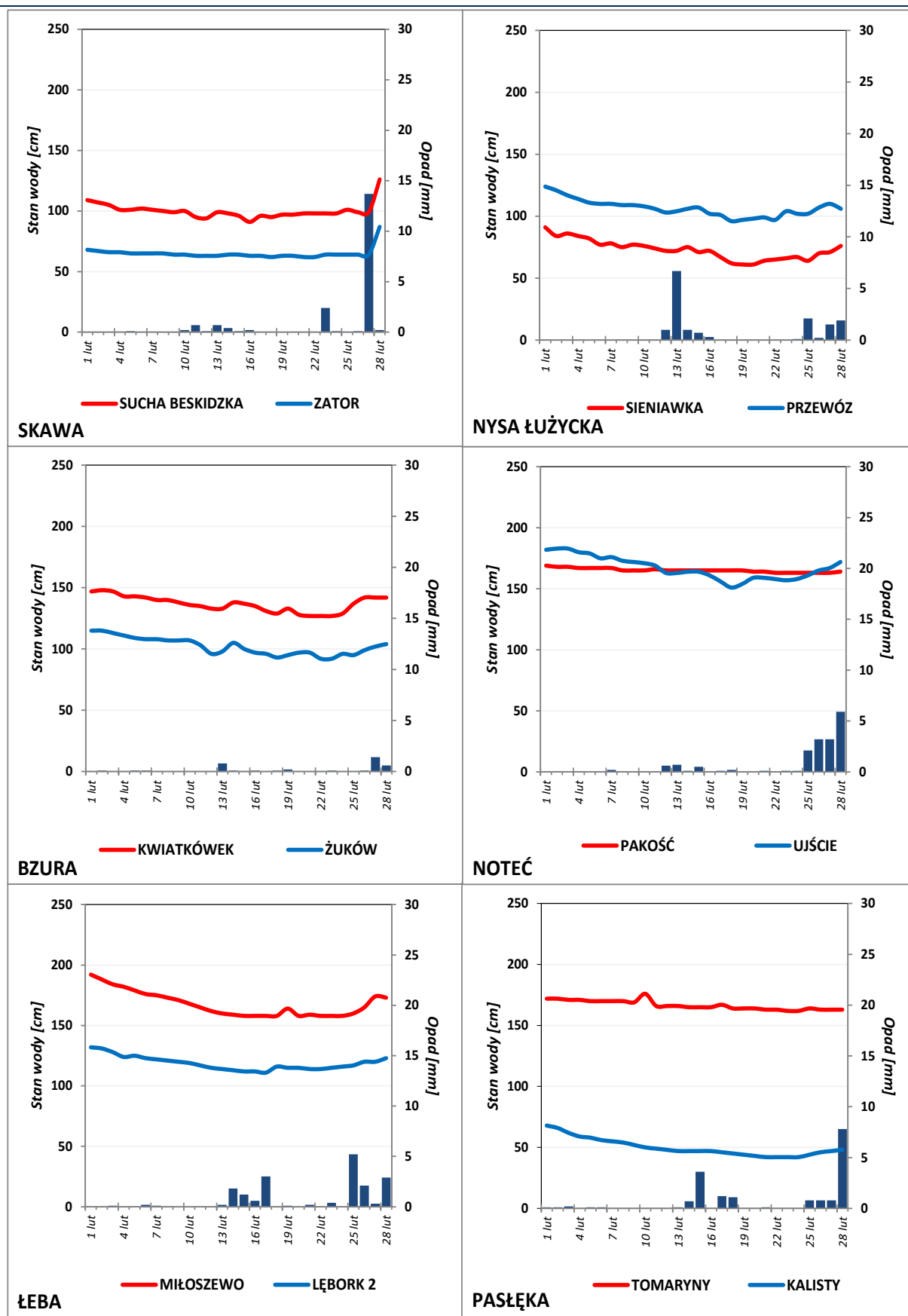
całej długości układała się w strefie wody niskiej, jedynie na krótkim odcinku poniżej jej źródła oraz poniżej ujścia do niej Noteci - znajdowała się w strefie wody średniej.

W lutym wartości stanu wody niższe od najniższych dotychczas obserwowanych (do roku 2023) lub równe wartościom najniższym odnotowano na dziewięciu stacjach hydrologicznych w dorzeczu Wisły i jednej w dorzeczu Odry (tab. 3.3). Najniższy stan wody w odniesieniu do wartości najniższej dotychczas obserwowanej zanotowano w tym miesiącu w dorzeczu Wisły (na tej samej stacji co w styczniu i grudniu) na rzece Żylica, na stacji Łodygowice. W dniu 16 II stan wody był tam o 9 cm niższy od najniższej wartości dotychczas (do roku 2023) zaobserwowanej na tej stacji. W poprzednim miesiącu, styczniu, wartości stanu wody niższe od najniższych dotychczas obserwowanych (do roku 2023) lub równe wartościom najniższym odnotowano na pięciu stacjach hydrologicznych w dorzeczu Wisły i jednej w dorzeczu Odry.

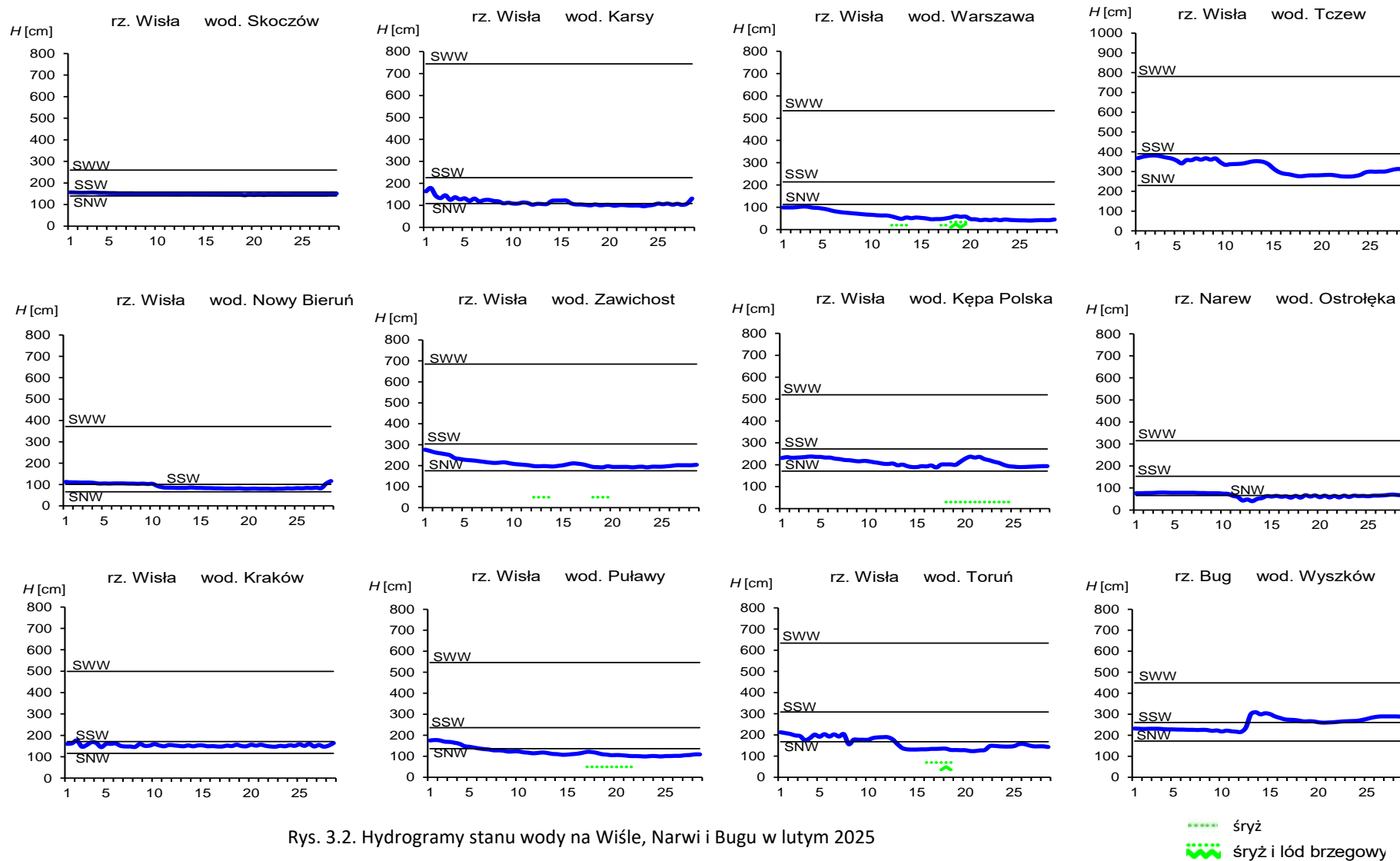
Tab. 3.3. Stacje wodowskazowe, na których stan wody w lutym 2025 był niższy od dotychczas obserwowanych wartości (do roku 2023)

Lp.	Rzeka	Stacja wodowskazowa	$H_{\min \text{ abs.}}$ [cm]	Luty 2025 H_{\min} [cm]	ΔH * [cm]	Data wystąpienia H_{\min} (luty 2025)
Dorzecze Wisły						
1	Biała	Mikuszowice	80	79	1	22
2	Woda Ujsolska	Ujsoly	53	52	1	16
3	Żylica	Łodygowice	357	348	9	16
4	Łososina	Jakubkowice	40	37	3	20, 23
5	Wiśłoka	Pustków	87	83	4	24
6	Pilica	Spała	17	17	0	14
7	Ełk	Prostki	60	58	2	21
8	Pisa	Ptaki	41	38	3	20
9	Zgłowiączka	Włocławek-Ruda	61	58	3	23
Dorzecze Odry						
1	Łomnica	Łomnica	225	220	5	18, 19

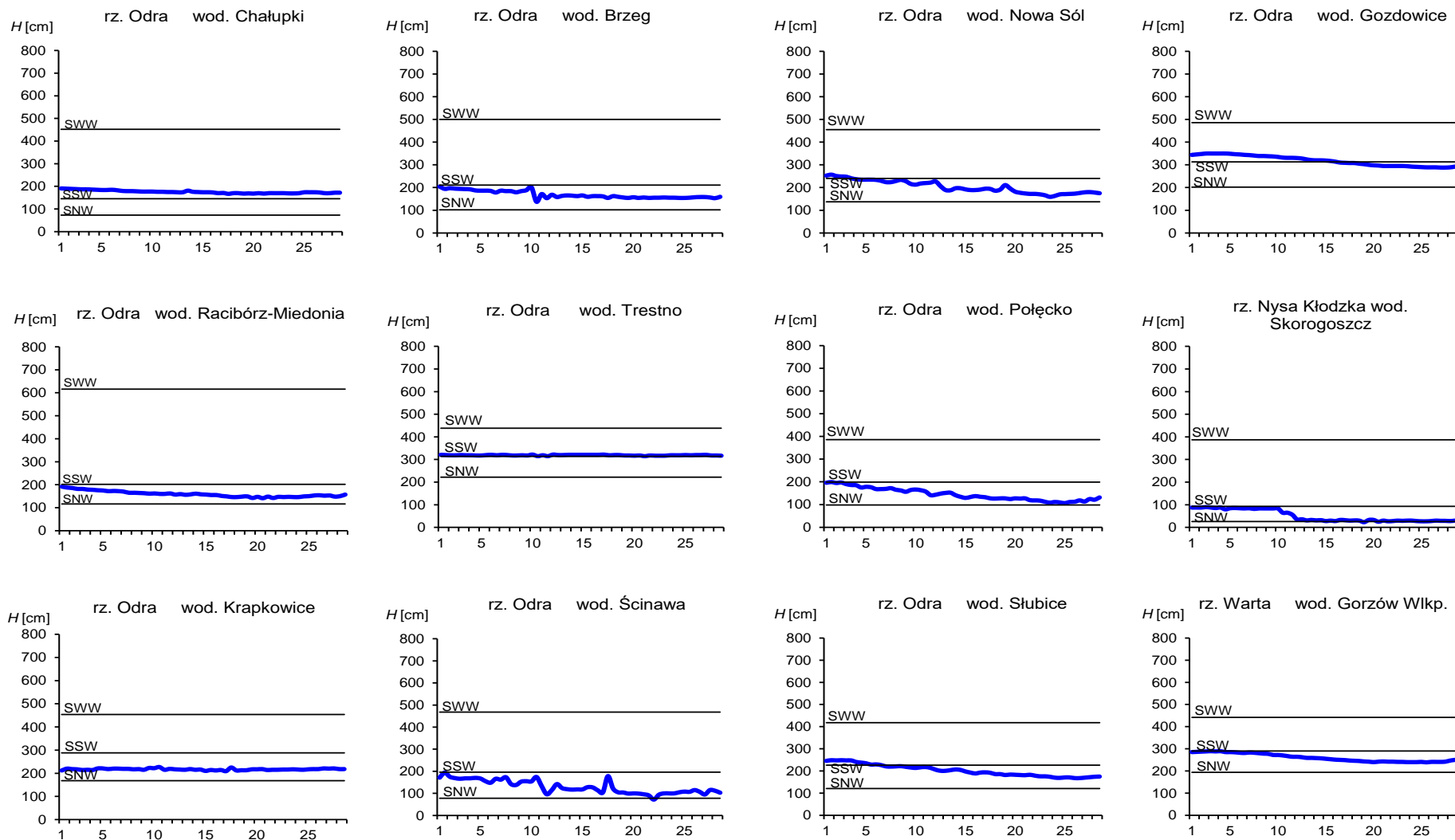
* $\Delta H = H_{\min \text{ abs.}} - H_{\min}$ (luty 2025)



Rys. 3.1. Wysokość opadów średnich [mm] i przebieg stanu wody [cm] dla wybranych zlewni w Polsce w lutym 2025



Rys. 3.2. Hydrogramy stanu wody na Wiśle, Narwi i Bugu w lutym 2025



Rys. 3.3. Hydrogramy stanu wody na Odrze, Nysie Kłodzkiej i Warcie w lutym 2025

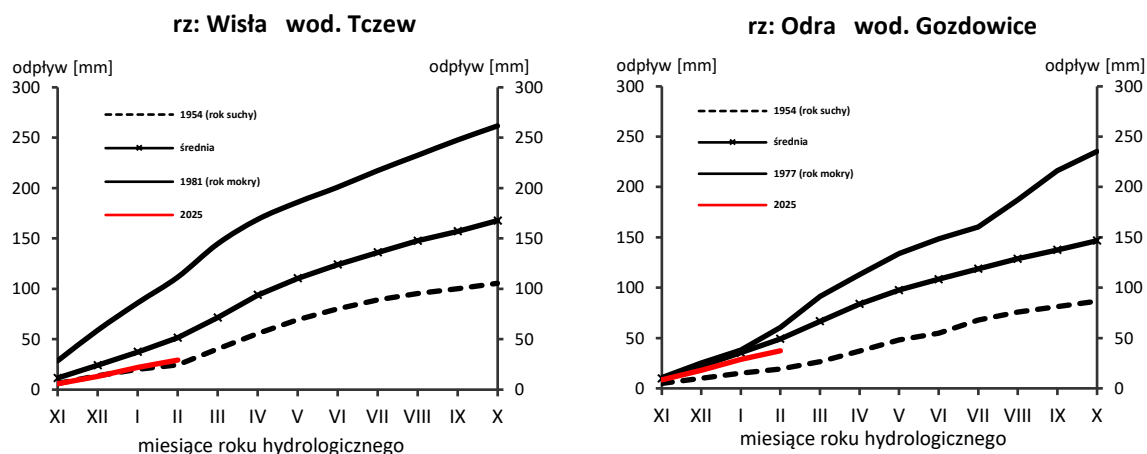
4. Odptyw rzeczny

W lutym wartości odptywu w przekrojach rzek dorzecza Wisły i Odry były wyraźnie niższe od normy, a w rzekach Przymorza (Rega i Słupia) były niższe od normy.

Odptyw (tab. 4.1) w dorzeczu Wisły wynosił od 39,8% normy w Ostrołęce na Narwi do 61,3% normy w Kośminie na Wieprzu, a w dorzeczu Odry od 45,6% normy w Osetnie na Baryczy do 69,5% w Nowym Drezdenku na Noteci. W rzekach Przymorza odptyw stanowił 96,5% odptywu normalnego w Resku na Redze, 87,1% w Słupsku na Słupi, a w Sępopolu na Łynie odptyw wyniósł 58,0% normy.

W dorzeczu Wisły odptyw kształtował się od 1,15 SNQ w Ostrołęce na Narwi do 1,90 SNQ w Przemyślu na Sanie, a w dorzeczu Odry od 1,40 SNQ w Sieradzu na Warcie do 6,97 SNQ w Osetnie na Baryczy. W rzekach Przymorza odptyw wyniósł 2,38 SNQ w Resku na Redze, 1,82 SNQ w Słupsku na Słupi, a w Sępopolu na Łynie 2,06 SNQ. Odptyw Wisły do Bałtyku wyniósł w lutym 7,35 mm, tj. 52,0% normy, Odrą odptynęło 8,81 mm, tj. 64,2% normy.

Odptyw rzeczny od początku roku hydrologicznego, tj. od 1 listopada 2024 do 28 lutego 2025 w dorzeczu Wisły zawierał się w granicach od 44,0% normy w Przemyślu na Sanie do 76,9% normy w Kośminie na Wieprzu, a w dorzeczu Odry od 58,9% normy w Sieradzu na Warcie do 86,4% w Skorogoszczy na Nysie Kłodzkiej. W przekrojach zamykających zlewnie: Wisły w Tczewie oraz Odry w Gozdowicach odptyw ten był równy odpowiednio: 56,7% i 75,8% odptywu normalnego, w rzekach Przymorza wynosił: dla Regi 94,6%, dla Słupi 92,6%, a dla Łyny był równy 56,8% normy.



Rys. 4.1. Krzywe sumowe odptywu Wisły w Tczewie i Odry w Gozdowicach

Tab. 4.1. Odptyw w lutym 2025 w stosunku do wartości charakterystycznych z wielolecia 1951-2020, w wybranych profilach wodowskazowych

Lp	Rzeka	Przekrój	A [km ²]	Wartości średnie z okresu 1951 - 2020								Luty 2025					
				\bar{Q}_2 [m ³ /s]	\bar{H}_2 [mm]	\bar{V}_2 [mln m ³]	\bar{Q}_r [m ³ /s]	\bar{H}_r [mm]	\bar{V}_r [mln m ³]	$\Sigma \bar{k}$	SNQ [m ³ /s]	Q [m ³ /s]	H [mm]	V [mln m ³]	n [%]	Q/SNQ	Σk
1	2	3	4	5	6	7	8	9	10	11	12	13	14	15	16	17	18
1	Wisła	Sandomierz	31 810	274	20,8	663	287	285	9 063	0,275	101	137	10,4	331	50,0	1,36	0,159
2	Wisła	Warszawa	84 945	582	16,6	1 409	564	210	17 801	0,294	228	301	8,57	728	51,7	1,32	0,171
3	Wisła	Tczew	193 923	1 133	14,1	2 742	1 032	168	32 539	0,312	417	589	7,35	1 425	52,0	1,41	0,177
4	Dunajec	Nowy Sącz	4 337	39,9	22,2	96,5	65,0	472	2 049	0,192	14,9	24,2	13,5	58,5	60,7	1,63	0,125
5	San	Przemysł	3 688	49,3	32,3	119	52,0	445	1 641	0,276	10,3	19,7	12,9	47,7	40,0	1,90	0,121
6	Wieprz	Kośmin	10 293	41,0	9,62	99,1	36,8	113	1 159	0,334	16,0	25,1	5,90	60,7	61,3	1,57	0,257
7	Pilica	Sulejów	3 927	25,8	15,9	62,4	22,0	177	695	0,346	8,98	14,4	8,87	34,8	55,9	1,60	0,231
8	Narew	Ostrołęka	21 921	124	13,7	299	108	156	3 411	0,339	42,7	49,3	5,44	119	39,8	1,15	0,155
9	Bug	Wyszaków	38 394	164	10,3	396	152	125	4 799	0,320	52,3	95,9	6,04	232	58,6	1,83	0,172
10	Łyna	Sępopol	3 640	31,0	20,6	75,0	24,5	212	773	0,386	8,74	18,0	12,0	43,5	58,0	2,06	0,220
11	Odra	Racibórz-Miedonia	6 729	66,2	23,8	160	64,3	302	2 029	0,284	15,4	37,6	13,5	91,0	56,8	2,44	0,234
12	Odra	Ścinawa	29 612	184	15,1	446	177	189	5 589	0,302	62,9	114	9,31	276	61,8	1,81	0,252
13	Odra	Nowa Sól	36 840	222	14,6	536	200	171	6 292	0,319	79,4	146	9,59	353	65,9	1,84	0,275
14	Odra	Gozdowice	109 810	623	13,7	1 507	512	147	16 141	0,340	241	400	8,81	968	64,2	1,66	0,258
15	Nysa Kł.	Skorogoszcz*	4 489	30,7	16,5	74,2	35,7	251	1 127	0,271	9,12	18,9	10,2	45,7	61,6	2,07	0,234
16	Barycz	Osetno	4 580	23,7	12,5	57,3	14,8	102	466	0,395	1,55	10,8	5,70	26,1	45,6	6,97	0,308
17	Bóbr	Żagań	4 255	43,2	24,5	104	37,2	276	1 174	0,327	11,5	25,1	14,3	60,7	58,1	2,19	0,247
18	Warta	Sieradz	8 156	56,3	16,7	136	44,3	171	1 396	0,359	21,0	29,5	8,75	71,4	52,4	1,40	0,212
19	Warta	Poznań	25 909	134	12,5	324	99,4	121	3 135	0,365	39,6	61,5	5,74	149	46,0	1,55	0,225
20	Noteć	N. Drezdenko	15 932	90,5	13,7	219	72,6	144	2 289	0,369	38,4	62,9	9,55	152	69,5	1,64	0,267
21	Rega	Resko	1 134	11,3	24,1	27,3	8,70	242	274	0,384	4,57	10,9	23,3	26,4	96,5	2,38	0,364
22	Słupia	Słupsk	1 452	17,8	29,7	43,1	15,6	338	491	0,373	8,52	15,5	25,8	37,5	87,1	1,82	0,345

* - Przepływ jest pod wpływem gospodarki wodnej w zbiorniku.

Objaśnienia do tab. 4.1:

- \bar{Q}_m przepływ średni miesięczny z wielolecia,
 \bar{H}_m odpływ miesięczny średni z wielolecia,
 \bar{V}_m odpływ miesięczny średni z wielolecia,
m indeks miesiąca
 \bar{Q}_r przepływ średni roczny, z wielolecia,
 H_r odpływ roczny średni z wielolecia,
 \bar{V}_r odpływ roczny średni z wielolecia,
r indeks roku
 $\sum \bar{k}$ wskaźnik sumarycznego odpływu od początku roku hydrologicznego (1 listopada) w stosunku do odpływu średniego rocznego będącego sumą odpływów średnich miesięcznych z wielolecia
SNQ przepływ średni z minimalnych przepływów rocznych z wielolecia,
Q przepływ średni miesięczny bieżącego roku,
H odpływ miesięczny bieżącego roku,
V odpływ miesięczny bieżącego roku,
n procent w stosunku do wartości średniej z wielolecia
 $n = Q / \bar{Q} * 100\% = H / \bar{H} * 100\% = V / \bar{V} * 100\%$,
k wskaźnik odpływu miesięcznego w stosunku do odpływu średniego rocznego
 $k = H / \bar{H}_r = V / \bar{V}_r$
 $\sum k$ wskaźnik sumarycznego odpływu od początku roku hydrologicznego (1 listopada) do końca danego miesiąca w stosunku do odpływu średniego rocznego

5. Jeziora



Rys. 5.1. Lokalizacja jezior bazowych i bilansowych sieci limnologicznej

Tab. 5.1. Morfometria i zlewnie jezior

Lp.	Jezioro	Jezioro				Zlewnia	Powierzchnia zlewni jeziora ²⁾
		Powierzchnia ²⁾	Objętość ¹⁾	Głębokość średnia ¹⁾	Głębokość maksymalna ¹⁾		[km ²]
		[km ²]	[mln m ³]	[m]	[m]		
1	Sławskie	8,3	43	5,2	12,3	Obrzyca – Odra	206,1
2	Powidzkie	10,7	131	12,7	45,4	Meszna – Warta	79,6
3	Komorze	3,9	49	11,8	34,7	Piława – Gwda	35,8
4	Sławianowskie	2,9	18	6,6	15,0	Głomia – Gwda	107,7
5	Ostrowite	3,6	36	9,4	28,5	Płociczna – Drawa	311,3
6	Morzycko	3,2	50	14,5	60,0	Słubia – Odra	60,6
7	Rajgradzkie	14,6	143	9,4	52,0	Jegrznia – Biebrza	742,8
8	Dejguny	7,7	93	12,0	45,0	Pisa – Narew	57,7
9	Bachotek	2,2	15	7,2	24,3	Skarlanka – Drwęca	233,4
10	Jasień	5,7	48	8,3	32,2	Łupawa	71,7
11	Raduńskie Górne	3,8	60	15,5	43,0	Radunia	73,6
12	Dadaj	9,7	121	12,3	39,8	Wadąg – Łyna	340,1

¹⁾ Atlas Jezior Polski (1996, 1997, 2000)

²⁾ Mapa Podziału Hydrograficznego (2010)

W lutym średni stan wody kontrolowanych jezior wzrósł nieznacznie, o 0,6 cm. W sześciu jeziorach stan wody wzrósł, w czterech obniżył się, a w dwóch pozostał bez zmiany (Sławskie, Jasień). Miesięczne wahania lustra wody w poszczególnych jeziorach również nie były duże i maksymalnie wyniosły 5 cm. W strefie stanu wody wysokiej notowano sześć jezior, a w strefach stanu wody średniej i niskiej - po trzy jeziora. Maksymalne przekroczenia granic wody średniej odnotowano w Powidzkim (52 cm) i w piętrzym Rajgrodzkim (-39 cm). W pozostałych jeziorach (w których odnotowano przekroczenie stanu średniego), zarejestrowano wyraźnie mniejsze przekroczenia (mieszczące się w przedziale ± 12 cm).

Średni z lat 1981-2020 stan wody nadal przekraczał średni stan bieżący, tym razem o przeszło 5 cm (gdy w styczniu było to 4 cm). W siedmiu jeziorach notowano niedobór wody, a w pięciu nadmiar, w stosunku do wartości średniej wieloletniej.

W porównaniu do stycznia spadek wartości temperatur średnich zanotowano w dziewięciu jeziorach, a wzrost - w dwóch (Sławskie i Ostrowite). Także wartości temperatur charakterystycznych potwierdzały układ, który zaobserwowano wśród temperatur średnich (28 temperatur charakterystycznych wykazywało dalszy spadek, pięć – wykazywało wzrost, a jedna pozostawała bez zmiany).

Średnia miesięczna temperatura wody w jeziorach obniżyła się o 0,6°C i wyniosła 2,2°C (maksymalny spadek wyniósł 1,2°C w jez. Dejguny). Najwyższa średnia miesięczna temperatura wystąpiła w Sławianowskim (3,4°C), a najniższa w Dejgunach (1,2°C). Z kolei najwyższą dzienną temperaturę wody zmierzono w Morzycku (5,2°C, 28 II), a najniższą w Bachotku (0,4°C, 20-22 II). W lutym temperatura wody jezior mazurskich była wyraźnie niższa niż jezior położonych w pozostałej części kraju.

Trwała pokrywa lodowa występowała przeważnie w drugiej połowie miesiąca, a maksymalna jej grubość wyniosła 12 cm (Rajgrodzkie i Dadaj).

Tab. 5.2. Stan i temperatura wody jezior w lutym 2025

Lp.	Jezioro	$\overline{H_2}$ (1981–2020)			H_2			Stan wody	ΔH			T_2			ΔT		
		NNW	SSW	WWW	NW	SW	WW		NW	SW	WW	NT	ST	WT	NT	ST	WT
		[cm]			[cm]				[cm]			[°C]			[°C]		
1	Sławskie	153	175	201	176	180	186	wysoki	-2	0	3	1,5	2,5	3,8	0,2	0,3	0,6
2	Powidzkie	414	457	506	396	397	398	niski	3	3	2	1,3	2,4	3,2	-1,1	-0,8	-1,2
3	Komorze	122	136	159	146	147	147	wysoki	7	3	0	2,0	2,6	3,3	-0,2	-0,4	-1,3
4	Sławianowskie	163	203	240	207	210	215	wysoki	5	1	0	2,3	3,4	4,2	-0,6	-0,7	-1,5
5	Ostrowite *)	93	106	128	117	120	122	wysoki	-3	-2	-2	2,9	3,3	3,9	1,1	0,4	-0,5
6	Morzycko	165	195	232	205	206	209	wysoki	6	4	4	2,5	3,2	5,2	-0,4	-0,6	-0,2
7	Rajgrodzkie	109	162	230	127	130	132	niski	0	-1	-4	0,8	1,5	2,4	-1,0	-0,7	-1,1
8	Dejguny **)	133	181	221		173		średni		1			1,2			-1,2	
9	Bachotek	226	279	325	278	278	278	wysoki	8	4	1	0,4	1,8	3,3	-1,4	-1,0	-1,1
10	Jasień	126	142	158	140	141	143	średni	2	0	1	1,6	1,9	2,4	0,0	-0,9	-2,0
11	Raduńskie G.	484	498	524	485	488	492	niski	-7	-5	-4	0,6	1,3	2,3	-0,1	-0,8	-1,7
12	Dadaj	104	150	231	147	148	150	średni	-1	-1	-1	0,9	1,7	2,5	-0,7	-0,7	-1,3

*) Ostrowite – wielolecie 2005 – 2020

**) Dejguny – pomiary ekspedycyjne

gdzie:

$\overline{H_m}$ - stany charakterystyczne wody w danym miesiącu w wieloleciu 1981-2020

H_m - stany charakterystyczne wody w danym miesiącu

ΔH - zmiany stanów charakterystycznych wody w stosunku do poprzedniego miesiąca

T_m - temperatury charakterystyczne wody w danym miesiącu

ΔT - zmiany temperatur charakterystycznych wody w stosunku do poprzedniego miesiąca

NNW- najniższy stan w danym miesiącu w wieloleciu 1981-2020

SSW- średni stan w danym miesiącu w wieloleciu 1981-2020

WWW- najwyższy stan w danym miesiącu w wieloleciu 1981-2020

NW- najniższy stan w danym miesiącu

SW- średni stan w danym miesiącu

WW- najwyższy stan w danym miesiącu

NT - najniższa temperatura wody w danym miesiącu

ST - średnia temperatura wody w danym miesiącu

WT- najwyższa temperatura wody w danym miesiącu

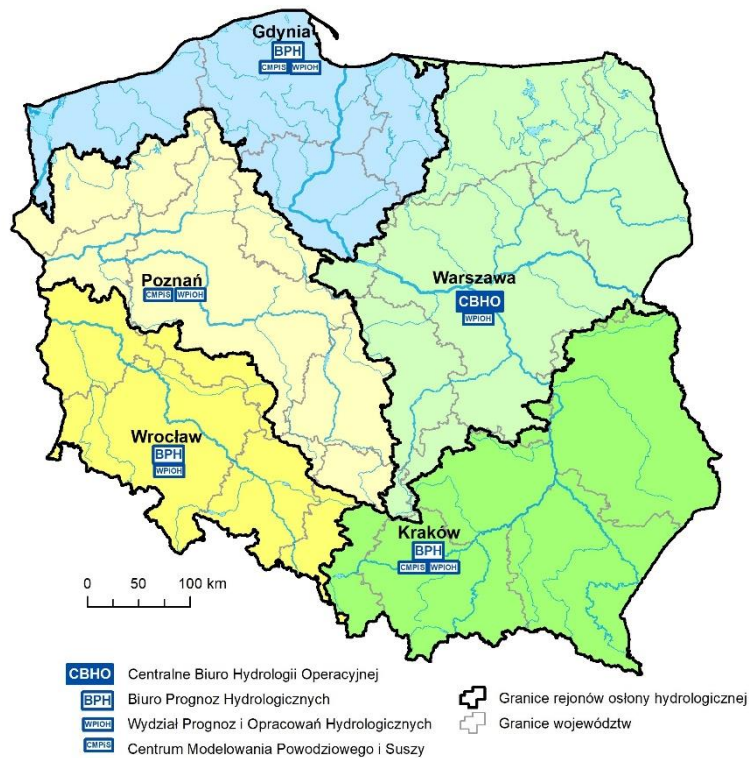
Tab. 5.3. Grubość pokrywy lodowej na jeziorach w lutym 2025 [cm]

T Jezioro	Dzień miesiąca						Średnia grubość
	5	10	15	20	25	Ostatni	
Sławskie	0	0	0	9	7	0	3
Powidzkie	0	0	0	6	6	0	2
Komorze	2	0	0	10	0	0	2
Sławianowskie	0	0	1	9	8	0	3
Ostrowite	0	0	0	11	9	4	4
Morzycko	0	0	0	5	0	0	1
Rajgrodzkie	0	0	7	12	0	0	3
Bachotek	0	0	4	7	8	5	4
Jasień	0	0	4	9	11	5	5
Dadaj	0	0	0	12	0	0	2

Rejony osłony meteorologicznej Polski



Rejony osłony hydrologicznej Polski



***Rzypowszechnianie powyższych danych
wyłącznie
z podaniem IMGW-PIB jako źródła informacji***



**INSTYTUT METEOROLOGII I GOSPODARKI WODNEJ
PAŃSTWOWY INSTYTUT BADAWCZY**

01-673 Warszawa, ul. Podleśna 61

Internet: <http://www.imgw.pl>

e-mail: biuletyn@imgw.pl